

Assistência senso-motora para deficientes visuais

Aline Rosa dos Santos Rocha¹, 16/0023076, Felipe Lima Alcântara², 16/0027918
^{1,2}Programa de Engenharia Eletrônica, Faculdade Gama - Universidade de Brasília, Brasil

Resumo—O projeto Assistência senso-motora para deficientes visuais (ASMDV) é um equipamento assistivo, construído para facilitar o deslocamento de deficientes visuais, cujos os quais não têm como detectar obstáculos fora da altura alcançável pela bengala. Utilizando o MSP430G2 e sensores ultrassônicos, buscou-se criar uma alternativa, para detecção de obstáculos altos.

Index Terms—MSP430, tecnologia assistiva, deficiência visual, sensor ultrassônico

I. INTRODUÇÃO

DE acordo com a Fundação Dorina Nowill para Cegos [1], do total da população brasileira, 23,9% (45,6 milhões de pessoas) declararam ter algum tipo de deficiência. Entre as deficiências declaradas, a mais comum foi a visual, atingindo 3,5% da população. Em seguida, ficaram problemas motores (2,3%), intelectuais (1,4%) e auditivos (1,1%). Segundo dados do IBGE de 2010, no Brasil, das mais de 6,5 milhões de pessoas com alguma deficiência visual 528.624 pessoas são incapazes de enxergar (cegos), 6.056.654 pessoas possuem baixa visão ou visão subnormal (grande e permanente dificuldade de enxergar) e outros 29 milhões de pessoas declararam possuir alguma dificuldade permanente de enxergar, ainda que usando óculos ou lentes. Dentro deste aspecto, Hogetop e Santarosa [2] afirmam que "a mediação digital vem impreterivelmente favorecer inúmeras novas oportunidades de acesso, em via dupla, ao conhecimento da cultura por parte do indivíduo [...]". A Educação Especial tem agora novas perspectivas de abordar a diversidade humana e "des"cobrir todos que historicamente foram excluídos, escondidos, discriminados, encobertos pelas diferentes sociedades no *continuum* das épocas". De forma menos abrangente, é isto que o projeto se propõe a fazer.

II. JUSTIFICATIVA

Segundo Souza [3], as soluções atuais mais amplamente utilizadas no Brasil para locomoção de cegos são as bengalas comuns - os usuários a movimentam e se ela esbarrar em algum objeto conseguem ter um noção

de onde há obstáculos e assim podem desviar, tem preço acessível mas se limita ao sensoramento abaixo da linha da cintura, - e cães-guia - que é uma boa solução por ser tratar de um ser inteligente auxiliando a locomoção mas pouco acessível devido aos poucos centros especializados no treinamento dos cães e todo o custo financeiro envolvido nesse processo. Alguns projetos de conclusão de curso e pós-graduação desenvolveram uma bengala eletrônica, Figura 1, ela faz uso de um microcontrolador em sua parte superior e dois sensores - um no meio da bengala responsável pelo sensoramento de objetos acima da linha da cintura e o outro, no final da bengala responsável pelos objetos abaixo da linha da cintura. Porém, além de ainda não estar sendo produzida, o preço de venda ficou estimado em R\$ 300,00 em um dos projetos [4].

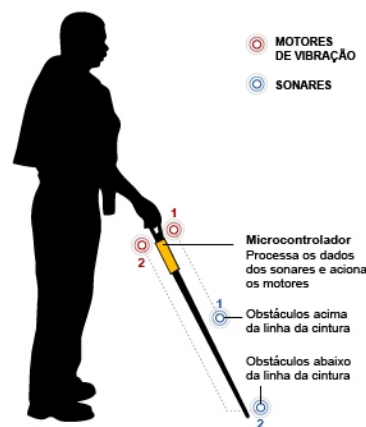


Figura 1. Bengala eletrônica.

Uma pesquisa de campo foi feita com um portador de deficiência visual, Leonardo Lemos de 22 anos, morador do Distrito Federal e cego desde os 09 anos. Ele relatou que só faz uso da bengala tradicional e que uma das grandes dificuldades que sente são os obstáculos aéreos como galhas de árvores, placas de trânsito ou qualquer outro objeto que esteja próximo à cabeça.

Tendo isso em vista, pensou-se que uma solução que envolvesse sensores que monitorassem a presença de objetos na parte superior do corpo e avisassem ao usuário através de som ou vibração seria de grande valia, principalmente se houvesse baixo custo associado à produção. A solução usaria microcontroladores do tipo *MSP430*, que pudessem facilitar a locomoção de deficientes visuais severos, pensado-se principalmente nos que entraram em tal condição recentemente - haja visto que, pessoas que à pouco tempo tiveram uma perda drástica de visão, terão muitas dificuldades associadas à locomoção que a bengala comum não é capaz de sanar, como evitar esbarrar em objetos que estão na região mais próxima à parte superior do corpo -.

III. OBJETIVO

Desenvolver protótipo funcional de um dispositivo capaz de detectar objetos acima da linha da cintura e avisar sensorialmente conforme for se aproximando o obstáculo. O projeto é pensado especialmente para portadores de deficiência visual, afim de evitar colisões. Projeta-se que os obstáculos seja sensoreados por 3 Sensores de Distância Ultrassônico HC-SRO4 localizados na região da cabeça - um na direção frontal e dois laterais -, o microcontrolador seja uma *MSP430G2*, da *Texas Instruments* e a alimentação do circuito feita com bateria recarregável.

Além disso temos que levar em conta as características de:

A. Precisão

Como para o cálculo da distância do sensor de ultrassom, é necessário utilizar um timer em modo de captura, vide Secção VII-B, é importante definir bem as interrupções na codificação da placa [5].

B. Conforto e estética

Em pesquisa de campo, um ponto levantado pelos entrevistados foi a questão estética. O público alvo do projeto mostrou preocupação em usar dispositivos que tivessem muitos fios, fossem grandes ou causassem grande estranheza para quem olhasse.

Assim, o projeto deve ser confortável para que não prejudique os usuários e esteticamente agradável. Nesse sentido, as sinalizações com *buzzers* foram desconsideradas - barulho chamativo - e Motores de Vibração Chato com fio (8x4 mm) foram adotados, já que possuem vibrações baixas mas suficientes para alertar.

IV. METODOLOGIA

Para alcance do desenvolvimento completo de um *assistente senso-motor para deficientes visuais*, entendeu-se que seria necessário iniciar o projeto com pesquisa de aplicações, desenvolvimento do software com o compilador *energia*, aprimoramento de *software* no *Code Composer Studio* e desenvolvimento do hardware e refinamento em C. Com o entendimento da necessidade destas fases, foi então estabelecido quatro pontos de controle, em que, à cada ponto era estabelecida uma meta de desenvolvimento à nível de hardware e de software. Conforme as metas eram alcançadas, objetivos maiores e mais perto do projeto final eram estabelecidos.

A. Pesquisa de Aplicações

Inicialmente foi realizada uma pesquisa do estado da arte, buscando reconhecer o que já foi realizado na área do tema. Junto a pesquisa, foi realizada uma breve conversa com um deficiente visual, buscando se inteirar da real necessidade do produto. Com o projeto definido e o problema identificado deu-se inicio ao projeto.

B. Desenvolvimento do Software com o Compilador Energia

Nesta etapa do projeto foi iniciado o processo de produção do protótipo, com um compilador de utilização mais simples. Realizando assim os primeiros testes com os sensores e o microcontrolador, buscando identificar possíveis ameaças e necessidades de *hardware* e *software*.

C. Aprimoramento de Software no Code Composer Studio

Esta etapa será abordada na Secção VII-E2, buscando já realizar aprimoramentos no código e implementação na linguagem C, e integração de algumas partes do *hardware*, principalmente a identificação e sinalização dos obstáculos.

D. Desenvolvimento do Protótipo e Refinamento em C

Inicia-se aqui a etapa de desenvolvimento do *hardware*, buscando se adequar ao abordado no Secção III-B. Além do trabalho com hardware, o software deverá ser aprimorado, tendo como objetivo demonstrar mais recursos do sistema e integrar o sensor de cabeça.

E. Conclusão do Hardware e Refinamento em C

Esta etapa busca finalizar a construção do *hardware* do protótipo e buscar já haver a temporização do sistema bem definido. Os sensores já deverão estar com regulação confiável.

V. REQUISITOS

A. Requisitos materiais e custos

Um ponto importante que diferencia o projeto de outros já desenvolvidos é seu baixo custo. Estima-se o custo de produção com material abaixo.

- 1 Microcontrolador *MSP430G2* - R\$ 40,00;
- 3 Sensores ultrassônicos *HC-SR04* - R\$ 8,90 cada = R\$ 26,70;
- Boné para suporte do sensor da cabeça e do circuito - R\$ 20,00;
- 3 Motores de Vibração Chato com fio (8x4 mm) - R\$ 4,90 cada = R\$ 14,70;
- Bateria alcalina 9V - R\$ 18,00;
- 1 CI SN74LS153 - R\$ 2,50;
- *Jumpers* macho-macho e macho-fêmea - R\$ 17,80;

Assim, estima-se um custo total de produção de R\$ 139,60.

B. Requisitos técnicos

C. Programação em C

O *Software* utilizado faz uso da linguagem C para a implementação, sendo assim um requisito é conhecer e se aprofundar nesta linguagem, buscando refinar o código e evitar possíveis lógicas não otimizadas.

1) *Habilidades em eletrotécnica*: Para a construção da parte estrutural, faz necessário o uso de protoboard, jumpers, PCBs, entre outros componentes. Assim, torna-se necessário habilidade em soldagem e manuseio de destes componentes.

2) *Formatação dos documentos*: A elaboração e manutenção dos documentos produzidos no projeto deverá utilizar *LaTeX* de forma que a apresentação das informações fique organizada, assim como, representará as instruções para a construção do protótipo.

VI. BENEFÍCIOS

A proposta de projeto tecnológico assistivo de monitoramento senso-motor para deficientes visuais visa melhorar a vida de pessoas que tiveram perdas bruscas de visão, principalmente perdas recentes que ainda não se acostumaram com suas rotinas e trajetos, trazendo mais conforto e confiabilidade em seus trajetos ao monitorar obstáculos que estejam próximos a regiões do corpo do usuário que a bengala tradicional não é capaz de detectar e assim avisá-lo evitando entrocamentos, quedas e até acidentes mais sérios. Em relação a tecnologias já existentes citadas anteriormente, o benefício desse projeto seria o custo de aquisição mais acessível atendendo a um leque maior de consumidores.

VII. DESENVOLVIMENTO

A. O microcontrolador *MSP430G2553*

Segundo a fabricante *Texas Instruments*, a família de microcontroladores de baixíssima potência da *Texas Instruments MSP430* consiste em vários dispositivos diferentes e conjuntos de periféricos destinados a várias aplicações. A arquitetura, combinada com cinco modos de operação de baixa potência, é otimizado para aumentar a vida útil da bateria em aplicações de medição portáteis. O dispositivo apresenta *CPU RISC* de 16 bits, registradores de 16 bits e geradores constantes que contribuem para a eficiência de código.[5] O oscilador controlado digitalmente (DCO) permite o despertar dos modos de baixa potência para o modo ativo em menos de 1 μ s. Além disso, os membros da família *MSP430G2x53* tem um conversor analógico-digital (A/D) de 10 bits. Aplicações típicas incluem sistemas de sensores de baixo custo que capturam sinais analógicos, convertem-nos em valores digitais, e, em seguida, processam os dados para exibição ou para transmissão para um sistema *host*.

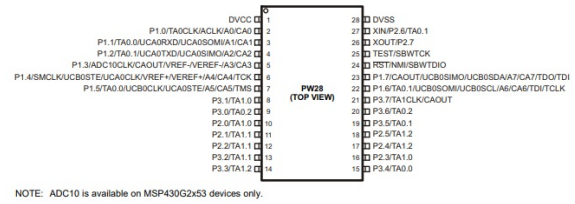


Figura 2. Pinagem da *MSP430G2553*.

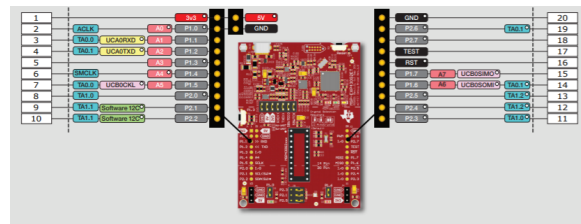


Figura 3. LaunchPad QuickStart Guide (QSG).

B. O Sensor *HC-SR04*

De acordo com o *datasheet*, após a porta *Trig* receber um pulso, a porta *Echo*, depois de ocorrer o envio da onda de ultrassom, iniciará a enviar o valor da tensão em V_{cc} até o ultrassom receber a onda de eco ou exceder a distância máxima de leitura, segundo o *datasheet* 4m, o funcionamento do sensor está exemplificado na Figura 4.

O tempo de pulso da porta *Echo*, será usado para o cálculo da distância. O cálculo é realizado pela equação[6]:

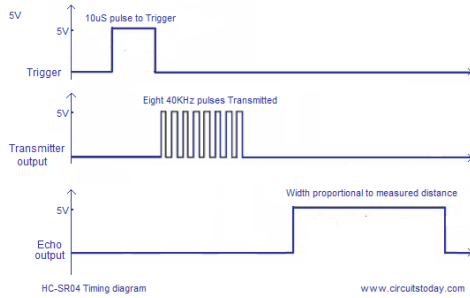


Figura 4. Diagrama de funcionamento no tempo do sensor de ultrassom.

$$Distancia = \frac{T_{Echo} \cdot V_{som}}{2} \quad (1)$$

Algumas vezes é necessário realizar testes para tornar mais preciso o cálculo da distância, para isso escrever um código simples para a leitura serial das distâncias é uma boa prática.

C. Multiplexação do sinal Echo

Uma das grandes dificuldades de todo o projeto estava em conseguir realizar a análise das distâncias por conta do número insuficiente de *Timers* da MSP430G2553. As interrupções de ambos os *timers* afetando uma a outra, fazendo leituras de distância erradas ou ainda não realizando nenhuma leitura no sensor.

Para isso a ideia de multiplexação da saída do sensor surgiu, pois diminuiria o número de portas utilizadas da MSP430, de 6 portas, para 4, sendo antes 3 portas de modo de comparação e com o multiplexador somente uma. A implementação da multiplexação se deu no Ponto de Controle 4, sendo provada vantajosa.[7]

Um multiplexador tem a função de por uma série de entradas, a partir de suas seletoras entregar uma saída igual à uma das entradas, como pode ser analisado em sua tabela verdade, Figura 5. Para a multiplexação foi utilizado o Circuito Integrado SN74LS153N.

D. Motores com PWM

Quanto aos motores de vibração, Figura 6, para vibrar, eles receberam ondas moduladas, *PWM* (*Pulse Width Modulation*). A vantagem de tratar o motor desta forma é a possibilidade de modulação da largura do pulso, aumentando e diminuindo a intensidade com aplicação em *Software*[8], além de se levar-se em conta que a potência de um pequeno motor DC depende da tensão aplicada pode-se usar este artifício para variar essa

| FUNCTION TABLE | | | | | | | |
|----------------|---|-------------|----|----|----|-----------|--------|
| SELECT INPUTS | | DATA INPUTS | | | | STROBE | OUTPUT |
| B | A | C0 | C1 | C2 | C3 | \bar{G} | Y |
| X | X | X | X | X | X | H | L |
| L | L | L | X | X | X | L | L |
| L | L | H | X | X | X | L | H |
| L | H | X | L | X | X | L | L |
| L | H | X | H | X | X | L | H |
| H | L | X | X | L | X | L | L |
| H | L | X | X | H | X | L | H |
| H | H | X | X | X | L | L | L |
| H | H | X | X | X | H | L | H |

Select inputs A and B are common to both sections.
H = high level, L = low level, X = irrelevant

Figura 5. Tabela Verdade do circuito integrado SN74LS153N

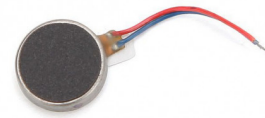


Figura 6. Motor de Vibração Chato com Fio .

potência sem, entretanto, modificar a tensão aplicada ao motor.

À parte positiva que pode ter seu pulso modulado é dado o nome de *Duty Cycle*. A Figura 7 trás um gráfico da voltagem pelo tempo exemplificando algumas modulações.

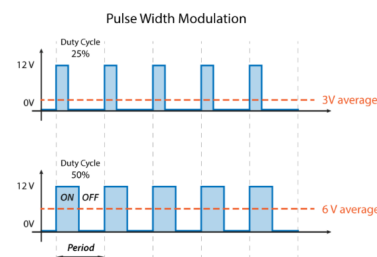


Figura 7. Modulação da largura do pulso.

Um controle *PWM* é realizado ajustando o *Duty Cycle*, aumentando-se a largura deste, a potência do motor aumenta também e se diminuir a largura, o mesmo ocorre com a potência.

Outra vantagem de aplicar o PWM é que o sinal permanece digital em todo o percurso desde o processador até o sistema controlado e nenhuma conversão de digital para analógico é necessária. Ao manter o sinal digital, os efeitos de ruído são minimizados pois um ruído só pode

afetar um sinal digital se ele for forte o suficiente para alterar uma lógica 1 para uma lógica 0 ou vice-versa.[9]

E. Ponto de Controle 2

1) *Hardware*: Para o ponto de Controle 2, buscou-se realizar a aplicação da identificação de obstáculos determinando a distância deste ao sensor. A intensidade de vibração foi exemplificada pelo uso de *leds*, que foram conectadas em série as saídas do tipo paralelo, do 74HC595. O design em *protoboard*, realizado no software *Fritzing*, está na Figura 8.

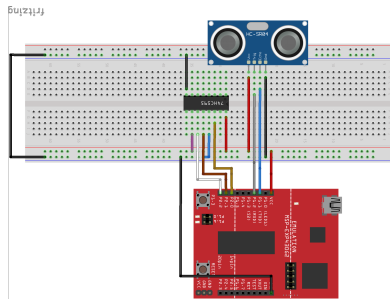


Figura 8. Desing do Circuito em *Protoboard*, sem *leds* conectadas a saída.

2) *Software*: O código foi realizado no ambiente de desenvolvimento integrado da *Texas Instruments*, *Code Composer Studio*(CCS), o código escrito na linguagem C.

Inicialmente é enviado um pulso para entrada *Trig*, de 20ms, após isso espera-se 3μs para um novo pulso no *Trig*. O *Timer A* foi definido em modo de captura para a entrada do pino *Echo*, ao ser encontrada a borda de subida é realizada a interrupção e após a borda de descida é realizado o cálculo da distância.

Com a distância do obstáculo definida, uma variável interna é setada de acordo com o valor da distância, assim enviando pra porta de saída um valor serial pré-setado em uma matriz.

F. Ponto de Controle 3

1) *Software* : O grande desafio à nível de software do terceiro ponto de controle era conseguir realizar a leitura de dois sensores simultaneamente usando apenas uma *MSP430G2*. Inicialmente pensou-se em utiliza-los de maneira "paralela", enviando o pulso de Trigger, com o único atraso sendo de leitura de tarefa.

```
P1OUT |= TRIG1;
P1OUT |= TRIG2;
__delay_cycles(20);
P1OUT &= ~TRIG1;
```

```
P1OUT &= ~TRIG2;
```

Para usá-los, na codificação os sensores foram colocados em portas diferentes, a Figura 9 exemplifica o funcionamento, se havendo a borda de subida em um dos pinos *Echo*, a função de interrupção da porta é chamada, inicializando assim a contagem do pino *Echo* em nível lógico alto.

```
P1IE |= EchoPin1;
P2IE |= EchoPin2;
P1IES &= ~EchoPin1;
P2IES &= ~EchoPin2;
```

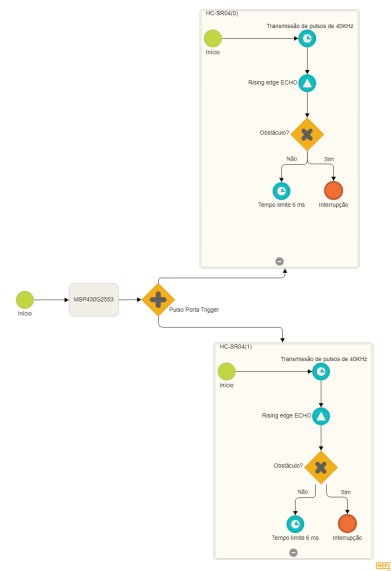


Figura 9. Fluxograma de Funcionamento do Software para os sensores de ultrassom, funcionamento paralelo.

Na interrupção caso seja verificada uma borda de descida significa que um obstáculo foi identificado, assim podendo realizar o calculo da distância. Para o calculo foi usado o numero de vezes que a interrupção do *Timer* foi chamada somado ao valor no registrador *TAR*, o valor resultante sendo dividido por 58, para a transformação total do período do *ECHO* em centímetros.

Por fim foi setada a distância tolerável de 15cm, caso o obstáculo estivesse numa distância menor deveria ser ligado o *led* correspondente ao sensor.

2) *Hardware* : À nível de hardware para o ponto de controle 3, foi montado um circuito em *protoboard* para leitura de dos dois sensores.

Para o protótipo final, foi decidido que para conforto, será realizado a confecção unicamente do boné, este contendo os 3 sensores, um frontal e dois diagonais(a ser testado a eficiência). Para a alimentação do circuito será


```

if (TA0R >= TACCR1)
  P1OUT &= ~PWM;
else
  P1OUT |= PWM;
}

```

2) *Hardware*: Neste ponto de controle, à nível de hardware o desenvolvido foi o circuito para ligação dos três sensores ao multiplexador e à MSP. A imagem abaixo mostra o circuito montado em *protoboard*.

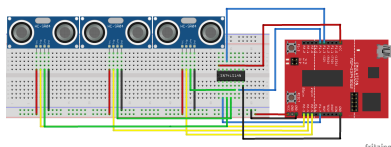


Figura 14. Visão circuito em *protoboard* 3 sensores e MUX

Também foi realizado a implementação teste de um motor com um sensor de ultrassom, porém não há a necessidade de apresentação do circuito, por seu aspecto simples e poucas conexões.

H. Projeto Final

Nesta etapa do projeto, a parte de *Software* já estava concluída restando apenas a prototipagem do projeto. Os três sensores foram ligados, através de jumpers, com seus pinos *ECHO* nas portas de entrada do multiplexador [10], pinos *TRIGGER* na MSP, com portas configuradas como *I/O* [11], pinos *VCC* e *GND* numa pequena *protoboard*. Eles foram colados nas duas laterais de um capacete e um na frente como mostra a figura 15

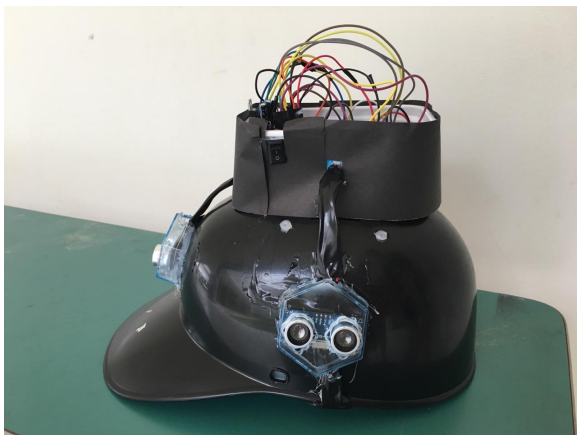


Figura 15. Sensores acoplados no capacete.

Os motores foram acoplados na parte interna do capacete em uma cinta que envolve todo seu diâmetro.

Os três fios *GND* foram soldados em um para reduzir o número de fios que entravam na *protoboard* e os *VCCs* foram ligados na MSP.



Figura 16. Motores acoplados no capacete.

Em uma pequena caixa colada em cima do capacete foram colocados a MSP, a bateria e a *protoboard* como a figura 17 mostra.

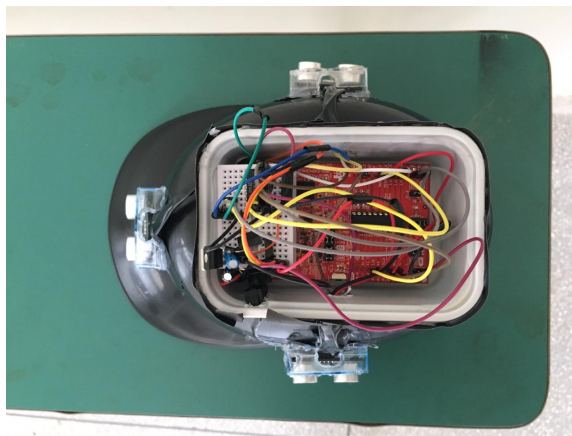


Figura 17. Caixa com os componentes eletrônicos do circuito.

Para alimentação da MSP foi usada uma bateria de 9V e feito um regulador de tensão de 5V. Essa voltagem foi enviada para um dos pinos de 5V da placa, Figura 3, e para um trilha da *protoboard* onde os sensores eram alimentados. A alimentação do multiplexador, foi feita com 3V, vinha de um dos pinos da MSP, pois esta já possui regulador de tensão interno.[11]

A Figura 18 mostra o protótipo final do assistente senso-motor para deficientes visuais.



Figura 18. Protótipo final.

VIII. DISCUSSÃO E RESULTADOS

A. PC2

Nesta etapa do desenvolvimento, o objetivo era realizar a leitura da distância com o sensor, notou-se que a leitura só ocorre de forma eficiente em superfícies planas, porém como primeira etapa de desenvolvimento de *Hardware* e *Software* os resultados foram bons e a partir destes, foi possível visualizar possíveis ameaças de implementação e definir o caminho a seguir para o projeto.

B. PC3

A utilização do código utilizado na Seção VII-E2 para aplicação com dois ou mais sensores não foi possível, pois ao se implementar na placa, não houve acendimento do *led* como era esperado. A não implementação se deu, pois o uso da interrupção como modo de comparação do *Timer A* "corrompia" a leitura dos outros sensores. Com os resultados obtidos a entrega da parte de *Software* não foi efetuada no prazo do PC3, sendo adiada para o PC4, no entanto foi realizado o teste de eficiência para os sensores colocados de forma diagonal com o *Hardware* e *Software* do PC2 e notou-se grandes erros de leitura de distância. Como solução o orientador do projeto deu a ideia de realizar a utilização dos sensores de forma sequencial, enviando o pulso do *Trigger* e análise do *Echo*, em um sensor de cada vez. Desta forma foi pensado em utilizar a multiplexação do *Echo*, reduzindo assim número de portas e utilizando uma única porta para interrupção.

C. PC4

Com os resultados obtidos no Ensaio da Seção VII-F, foi necessário uma reestruturação do *Hardware* e do *Software*, estas trouxeram resultados bastante satisfatórios, sendo a multiplexação uma saída para várias algumas das ameaças, porém havendo muito ruído e em certos momentos mal contato, sendo que este duplica leitura de um sensor para outro. O teste feito para os motores mostrou que para atribuições ao *TACCR1* abaixo de 30% o tempo de vibração do motor é imperceptível. Assim, para o projeto final os valores de *TACCR0* e *TACCR1* devem ser melhor adaptados.

Devido ao atraso na parte de *Software*, não foi iniciada a prototipagem sendo este um atraso notável.

D. Projeto Final

No projeto final os resultados que necessitavam de correção no ensaio realizado na Seção VII-G, foram resolvidos como o mal contato da multiplexação retirado e o PWM implementado de forma a haver maior sensibilidade de vibração, ao serem implementados ainda fora do capacete o funcionamento foi exato ao estabelecido em *Software*. Porém por algumas deficiências do protótipo a vibração dianteira não foi muito perceptível, pois o motor ficou em contato com o cabelo e não com a testa. Pelo tamanho dos sensores, utilização da *launchpad*, Figura 3, o capacete ficou muito chamativo, sendo necessário para um próximo passo uma aquisição de sensores menores e melhor configuração de local para o circuito.

IX. CONCLUSÃO

Ao fim, o protótipo exerceu a finalidade para a qual foi criado tendo em vista que os três sensores fizeram a leitura de obstáculos à frente de cada um, enviando os sinais de *ECHO* para a MSP que, por sua vez, encaminhou sinais de vibração para os motores à depender da distância em que os obstáculos se encontravam.

Entende-se que, se a montagem da estrutura houvesse começado antes, problemas do protótipo teriam sido descobertos e resolvidos com mais calma, evitando desperdício de tempo e material, um exemplo seria o melhor posicionamento dos motores de vibração.

Em relação ao conforto e estética, um dos objetivos do projeto, percebe-se que o conforto foi alcançado já que o capacete quando usado não causa incômodo e os motores não vibram em intensidade muito alta a ponto de incomodar. Porém, devido às limitações econômicas, de conhecimento e de tempo, não foi possível a fabricação de um protótipo esteticamente agradável onde os sensores não fossem tão chamativos, os fios não estivessem

tão à mostra e a caixa com os componentes eletrônicos não fosse tão grande.

Em relação ao sensor de ultrassom para uma aplicação real, é necessário um investimento em sensores de maior qualidade, pois o utilizado exige muito gasto computacional, só realiza leituras boas em objetos planos com baixa rugosidade e principalmente sua estrutura não é interessante para a aplicação.

REFERÊNCIAS

- [1] F. Dorina. (2010) Estatística da deficiência visual. [Online]. Available: <https://www.fundacaodorina.org.br/a-fundacao/deficiencia-visual/estatisticas-da-deficiencia-visual/>
- [2] L. Hogetop and L. Santarosa, "Tecnologias assistivas: Viabilizando a acessibilidade ao potencial individual," *PGIE - UFRGS*, vol. 5, no. 2, pp. 103–117, 2002.
- [3] C. S. G. de SOUZA, J. Sala, A. R. TOGNI, W. O. KAWAMOTO, C. S. P. ARIAS, and L. T. K. JÚNIOR., "Dispositivo para auxílio à locomoção de deficientes visuais baseado em transdutores ultrasônicos," *Revista Espacios*, vol. 37, no. 09, p. 20, 2016.
- [4] L. Brentano. (2011) Brasileiro cria bengala eletrônica de baixo custo para deficientes visuais. [Online]. Available: <http://g1.globo.com/tecnologia/noticia/2011/07/brasileiro-cria-bengala-eletronica-de-baixo-custo-para-deficientes-visuais.html>
- [5] J. H. Davies, *MSP430 microcontroller basics*. Elsevier, 2008.
- [6] A. Thomsen. (2015) Como utilizar o sensor ultrasônico hc-sr04. [Online]. Available: <http://buildbot.com.br/blog/como-utilizar-o-sensor-ultrasonico-hc-sr04/>
- [7] T. Lima. (2015) Mux - multiplexador. [Online]. Available: <https://www.embarcados.com.br/mux/>
- [8] C. B. Silveira. (2016) O que é pwm e para que serve? [Online]. Available: <https://www.citisystems.com.br/pwm/>
- [9] N. C. Braga. (2013) Controle pwm de motor dc (mec139). [Online]. Available: <http://www.newtoncbraga.com.br/index.php/robotica/5534-mec139>
- [10] *Dual 4-Line To 1-Line Data Selectors/Multiplexers datasheet* (Rev. A), Texas Instruments, 5 2007, revised.
- [11] *MSP430G2553 LaunchPadTM Development Kit* (MSP-EXP430G2ET), Texas Instruments, 6 2018.

APÊNDICE A CÓDIGO FINAL

```

1 #include <msp430g2553.h>
2
3 #define SEL1 BIT7 //B = P1.7
4 #define SEL0 BIT3 //A = P1.3
5 #define trigger1 BIT3 // trigger sensor 1
6   = P2.3 1C0
7 #define trigger2 BIT4 // trigger sensor 2
8   = P2.4 1C1
9 #define trigger3 BIT7 // trigger sensor 3
10  = P2.7 1C2
11 #define echo BIT4 // Echo mux = P1.4
12
13 #define PWM1 BIT0 // Motor1 = P2.0
14 #define PWM2 BIT2 // Motor2 = P2.2
15 #define PWM3 BIT5 // Motor3 = P2.5
16
17 #define PWM (PWM1|PWM2|PWM3)
18 #define triggers (trigger1|trigger2|
19   trigger3)
20
21 #define LED1 BIT0 //Led P1.0
22 #define LED2 BIT6 //Led P1.6
23
24 int miliseconds;
25 int distance[3];
26 long sensor;
27
28 void AcendeLED(int dist, int n);
29 void liga_motor(int dist, int n);
30 void IniciaUltra(int i);
31 void setSel(int n);
32
33 int main(void)
34 {
35     WDTCTL = WDTPW + WDTHOLD;
36
37     BCSCTL1 = CALBC1_1MHZ;
38     DCOCTL = CALDCO_1MHZ;
39     // Set de clock TA0
40     CCTLO = CCIE;
41
42     // CCR0 interrupt enabled
43     CCR0 = 1000; // 1us
44     at 1mhz
45     TACTL = TASSEL_2 + MC_1;
46     // SMCLK, upmode
47     CCTLO = CCIE;
48
49     // CCR0 interrupt enabled
50
51     //Set de clock TA1
52     TA1CCR0 = 1000; //PER ODO DO PWM
53     TA1CCTL1 = OUTMOD_7; //MODULO DE SA DA
54     DO TIMER0_A: RESET/SET
55     TA1CCTL0 = OUTMOD_7;
56     TA1CCTL2 = OUTMOD_7;

```

```

48 TA1CTL = TASSEL_2 + MC_1; //
49 TASSEL_2 -> CLOCK SOURCE: MCLK
50 MC_1 -> //TIMER COM CONTAGEM
51 PROGRESSIVA DE 0 AT TACCR1
52
53 _BIS_SR(GIE);
54
55 //Seletoras Multiplex
56 P1DIR |= SEL1 + SEL0;
57
58 // P1.3
59 and P1.7 as output for A e B
60
61 //SET Portas sensor
62 P1DIR &= ~echo; // make pin P1
63 .4 input (ECHO)
64 P2DIR |= triggers; // P2. 3,4,5 as
65 output
66 P2OUT &= ~triggers;
67 P2SEL &= ~triggers; //Select pin 1.2
68 as our PWM output.
69 P2SEL2 &= ~triggers;
70
71 // Set motor
72
73 P2DIR |= PWM; //Set pin 1.2 to the
74 output direction.
75 P2OUT &= ~PWM;
76
77 // Set LEDs
78 P1DIR |= LED1 + LED2;
79 P1OUT &= ~LED1;
80 P1OUT &= ~LED2;
81
82 volatile unsigned int count = 0;
83 while(1)
84 {
85     for (count = 0; count < 3; count++)
86     {
87         setSel(count);
88         __delay_cycles(100);
89         IniciaUltra(count);
90         distance[count] = sensor/58;
91         // converting ECHO
92         lenght into cm
93         AcendeLED(distance[count], count
94         );
95         liga_motor(distance[count],
96         count);
97     }
98 }
99
100 void setSel(int n){
101     switch(n){
102     case 0: // BA = 00
103         P1OUT &= ~SEL0;
104         P1OUT &= ~SEL1;
105
106         break;

```

```

95     case 1: // BA = 01
96         P1OUT |= SEL0;
97         P1OUT &= ~SEL1;
98         break;
99     case 2: // BA = 10
100         P1OUT &= ~SEL0;
101         P1OUT |= SEL1;
102         break;
103
104     default:
105         P1OUT |= SEL0;
106         P1OUT |= SEL1;
107     }
108 }
109
110 void IniciaUltra(int i){
111     P1IE &= ~0x01; // disable
112     interrupt
113     switch(i){
114         case 0:
115             P2OUT |= trigger1; //64
116             generate pulse
117             break;
118         case 1:
119             P2OUT |= trigger2; //68
120             generate pulse
121             break;
122         case 2:
123             P2OUT |= trigger3; //72
124             generate pulse
125             break;
126
127         default:
128             P2OUT &= ~triggers;
129     }
130     __delay_cycles(10); //
131     for 10us
132     P2OUT &= ~triggers;
133     P1IFG = 0x00; //79
134     clear flag just in case
135     anything happened before
136     P1IE |= echo; // enable
137     interrupt on ECHO pin
138     P1IES &= ~echo; // rising
139     edge on ECHO pin
140     __delay_cycles(30000); //
141     delay for 30ms (after this
142     time echo times out if there
143     is no object detected)
144 }
145
146 void AcendeLED(int dist, int n)//Acender
147     LEDs para debug
148 {
149     if (dist <= 15 && dist != 0){
150         switch(n){
151             case 0:
152                 P1OUT &= ~LED1;
153                 P1OUT |= LED2;
154             break;
155             case 1:
156                 P1OUT |= LED1;
157                 P1OUT &= ~LED2;
158             break;
159             case 2:
160                 P1OUT |= LED1;
161                 P1OUT |= LED2;
162             break;
163             default:
164                 P1OUT &= ~LED1;
165                 P1OUT &= ~LED2;
166             }
167         }
168     else{
169         if (dist > 21)
170         {
171             P1OUT &= ~LED1;
172             P1OUT &= ~LED2;
173         }
174     }
175 }
176
177 #pragma vector=PORT1_VECTOR
178 __interrupt void Port_1(void)
179 {
180     if(P1IFG&echo)
181     {
182         if(!(P1IES&echo))
183         {
184             TACTL|=TACLR; // clears
185             timer A
186             miliseconds = 0;
187             P1IES |= echo; //
188             Interrupi o para
189             falling edge
190         }
191     else
192     {
193         sensor = (long)miliseconds
194             *1000 + (long)TAR; //
195         Calculo do tamanho do Echo
196     }
197     P1IFG &= ~echo; //clear
198     flag
199 }
200
201 #pragma vector=TIMER0_A0_VECTOR
202 __interrupt void Timer_A (void)
203 {
204     miliseconds++;
205 }
206
207 void liga_motor(int dist, int n)
208 {
209     if (dist == 100)
210         TA1CCR1 = 300; //DUTY CYCLE DO PWM

```

```

198         EM 30%
199         else if (dist >= 80 && dist < 100)
200             TA1CCR1 = 400; //DUTY CYCLE DO PWM
201             EM 40%
202         else if (dist >= 60 && dist < 80)
203             TA1CCR1 = 500; //DUTY CYCLE DO PWM
204             EM 50%
205         else if (dist >= 35 && dist < 60)
206             TA1CCR1 = 600; //DUTY CYCLE DO PWM
207             EM 60%
208         else if (dist >= 20 && dist < 35)
209             TA1CCR1 = 700; //DUTY CYCLE DO PWM
210             EM 70%
211         else if (dist < 20 && dist !=0)
212             TA1CCR1 = 800; //DUTY CYCLE DO PWM
213             EM 80%
214         else
215             TA1CCR1 = 0;
216
217         switch(n) {
218             case 0:
219                 //executa o motor
220                 if (TA1R >= TA1CCR1)
221                     P2OUT &= ~PWM1;
222                 else
223                     P2OUT |= PWM1;
224                 break;
225             case 1:
226                 //executa o motor
227                 if (TA1R >= TA1CCR1)
228                     P2OUT &= ~PWM2;
229                 else
230                     P2OUT |= PWM2;
231                 break;
232             case 2:
233                 //executa o motor
234                 if (TA1R >= TA1CCR1)
235                     P2OUT &= ~PWM3;
236                 else
237                     P2OUT |= PWM3;
238                 break;
239             default:
240                 P2OUT &= ~PWM;
241         }
242     }
243 }

```